



Laboratorium EMVO Sp. J. Urbański, Pawelak
ul. Jasna 1
00-013 Warszawa

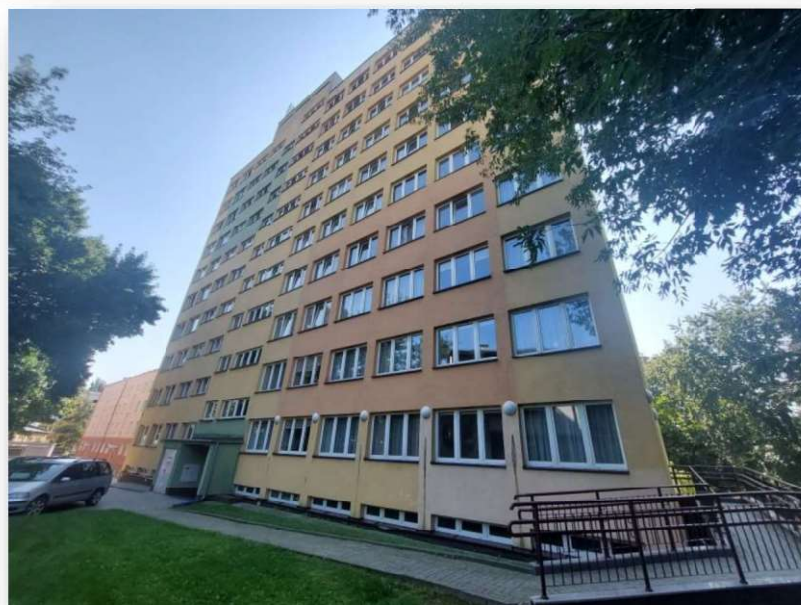
tel. +48 22 780 29 64

e-mail: laboratorium@emvo.pl



AB 1630

Sprawozdanie z pomiarów pól elektromagnetycznych - środowisko nr 102/08/OŚ/2022– P4-W



Nr i nazwa stacji	LUB1107A	
Adres	Lublin, Langiewicza 5, pow. Lublin, woj. lubelskie	
Opracowanie		Specjalista ds. pomiarów
Autoryzacja		Kierownik Laboratorium
Podpis	Podpis jest prawidłowy Dokument podpisany przez [redacted] Data: 2022.08.22 07:35:56 ZEST Powód: Zatwierdzam dokument	
Data	2022-08-18	

Spis treści

1. Informacje ogólne.....	3
2. Podstawa prawna.	3
3. Opis pomiarów.....	4
4. Zróżnicowanie dopuszczalne poziomy pól elektromagnetycznych.....	5
5. Charakterystyka źródeł PEM.....	5
6. Wyniki pomiarów.....	5
7. Stwierdzenie zgodności	6
8. Oświadczenie.....	8
9. Spis załączników.	8

1. Informacje ogólne.

Zleceniodawca	P4 sp. z o.o., ul. Wynałazek 1, 02-677 Warszawa osoba udzielająca informacji- [REDACTED]
Istotne informacje dostarczone przez klienta	komplet informacji niezbędnych do wykonania pomiarów i opracowania sprawozdania
Dane otrzymane od klienta mogące mieć wpływ na ważność wyników	Dane anten sektorowych, dane anten radioliniowych, parametry pracy instalacji, ustawienie pochylenia anten
Prowadzący instalację	P4 sp. z o.o., ul. Wynałazek 1, 02-677 Warszawa
Lokalizacja obiektu	Lublin, Langiewicza 5, pow. Lublin, woj. lubelskie
Miejsce instalacji anten	Dach budynku
Miejsce instalacji urządzeń	Outdoor
Osoby wykonujące pomiar	[REDACTED]
Data wykonania pomiaru	18.08.2022
Temperatura na początku pomiaru [°C]	27,0
Temperatura na koniec pomiaru [°C]	28,5
Warunki atmosferyczne	Brak opadów
Wilgotność na początku pomiaru [%]	50,0
Wilgotność na koniec pomiaru [%]	52,0
Godzina na początku pomiaru	10:10
Godzina na koniec pomiaru	12:09
Inne źródła pól elektromagnetycznych oznaczone na załączniku graficznym	Nie występują
Parametry pracy instalacji	Tryb eksploatacyjny

2. Podstawa prawna.

2.1 Normy i rozporządzenia:

- Rozporządzeniem Ministra Klimatu z dnia 17 lutego 2020 r. w sprawie sposobów sprawdzania dotrzymania dopuszczalnych poziomów pól elektromagnetycznych w środowisku (Dz.U. 2020 poz. 258)
- Rozporządzenie Ministra Zdrowia z dnia 17 grudnia 2019 r. w sprawie dopuszczalnych poziomów pól elektromagnetycznych w środowisku (Dz.U. 2019 poz. 2448)
- Obwieszczenie Marszałka Sejmu Rzeczypospolitej Polskiej z dnia 19 lipca 2019 r. w sprawie ogłoszenia jednolitego tekstu ustawy - Prawo ochrony środowiska (Dz.U. 2019 poz. 1396)
- Rozporządzenie Ministra Klimatu i Środowiska z dnia 6 maja 2022 r. zmieniające rozporządzenie w sprawie sposobów sprawdzania dotrzymywania dopuszczalnych poziomów pól elektromagnetycznych w środowisku (Dz.U. 2022 poz. 1121).

„Bez pisemnej zgody Laboratorium niniejsze sprawozdanie nie może być powielane inaczej, jak tylko w całości. Ponadto wyniki dotyczą tylko badanych obiektów przywołanych w niniejszym sprawozdaniu z badań”

3. Opis pomiarów

Metodologia pomiarowa	Pomiary w oparciu o Rozporządzeniem Ministra Klimatu z dnia 17 lutego 2020 r. w sprawie sposobów sprawdzania dotrzymania dopuszczalnych poziomów pól elektromagnetycznych w środowisku (Dz.U. 2020 poz. 258) oraz Rozporządzenie Ministra Klimatu i Środowiska z dnia 6 maja 2022 r. zmieniające rozporządzenie w sprawie sposobów sprawdzania dotrzymywania dopuszczalnych poziomów pól elektromagnetycznych w środowisku (Dz.U. 2022 poz. 1121).
Cel badań	Określenie wartości natężenia pola elektrycznego w miejscach dostępnych dla ludności.
Opis zestawu pomiarowego	Miernik Narda NBM 520, Sonda EF 9091, o zakresie pomiarowym 0,7 V/m - 300V/m pracująca w paśmie 0,1 – 90 GHz, świadectwo wydane przez Laboratorium Wzorców i Metrologii Pola Elektromagnetycznego, Instytut Telekomunikacji, Teleinformatyki i Akustyki Politechniki Wrocławskiej. Świadectwo ważne do 07.07.2023. Miernik Narda NBM 520, Sonda EF 9091 pracująca w zakresie temperatury -10°C - +50°C oraz wilgotności 5% - 95%. Niepewność rozszerzona wynosi 37,6% przy poziomie ufności 95% z uwzględnieniem współczynnika rozszerzenia k=2.
Wyposażenie pomocnicze	Termohigrometr Termoprodukt, typ: Termik+, nr identyfikacyjny 700618, świadectwo wzorcowania nr 1763/AH/19 z dn. 29.07.2019 r. wydane przez Laboratorium Pomiarowe "MUTECH". Przymiar wstęgowy STABILA, nr identyfikacyjny 31WL, świadectwo wzorcowania nr 6W1/1826/19 z dn. 02.08.2019 r. wydane przez Dyrektora Okręgowego Urzędu Miar w Gdańsku. GPS Garmin 64s okresowo sprawdzany w punktach osnowy geodezyjnej klasy 3 na podstawie licencji punktu, zgodnie z procedurą sprawdzeń okresowych IS/PO16-11/03.
Pomiary zostały wykonane	<ol style="list-style-type: none">1. na głównych i pomocniczych kierunkach pomiarowych, na kierunkach zbliżonych do azymutów anten oraz w dodatkowych pionach pomiarowych zgodnie z wymaganiami pkt 12, 13, 14 i 19 Rozporządzenia Ministra Klimatu z dnia 17 lutego 2020 r. (Dz. U. 2020, poz. 258) oraz Rozporządzenia Ministra Klimatu i Środowiska z dnia 6 maja 2022 r. zmieniającego rozporządzenie w sprawie sposobów sprawdzania dotrzymywania dopuszczalnych poziomów pól elektromagnetycznych w środowisku (Dz.U. 2022 poz. 1121).2. na obszarze pomiarowym, dla którego, na podstawie uprzednio przeprowadzonych obliczeń stwierdzono w miejscach dostępnych dla ludności występowanie pól elektromagnetycznych o najwyższym poziomie, które pochodzą z badanej instalacji zgodnie z wymaganiami pkt 5 ppkt 2 oraz pkt 13 ppkt 1 Rozporządzenia Ministra Klimatu z dnia 17 lutego 2020 r. w sprawie sposobów sprawdzania dotrzymania dopuszczalnych poziomów pól elektromagnetycznych w środowisku (Dz. U. 2020, poz. 258) oraz Rozporządzenia Ministra Klimatu i Środowiska z dnia 6 maja 2022 r. zmieniającego rozporządzenie w sprawie sposobów sprawdzania dotrzymywania dopuszczalnych poziomów pól elektromagnetycznych w środowisku (Dz.U. 2022 poz. 1121). Wyniki obliczeń nie uwzględniały parametrów pracy instalacji innych operatorów występujących na obiekcie bądź w obszarze pomiarowym.3. w miejscach dostępnych dla ludności.4. miejsca niedostępne podczas wykonywania pomiarów wskazane zostały w pkt 6 (tabeli wyniki pomiarów).

Szczególne warunki podczas Pomiary wykonane zostały podczas obowiązywania w kraju stanu zagrożenia

„Bez pisemnej zgody Laboratorium niniejsze sprawozdanie nie może być powielane inaczej, jak tylko w całości. Ponadto wyniki dotyczą tylko badanych obiektów przywołanych w niniejszym sprawozdaniu z badań”

wykonywanie pomiarów epidemicznego, zgodnie z art. 122a ust. 1b Ustawy z dnia 27 kwietnia 2001 r. – Prawo ochrony środowiska (Dz. U. z 2019 r. poz. 1396, z późn. zm.9)).

Warunki pracy urządzeń nadawczych Tryb pracy eksploatacyjny.

4. Zróżnicowanie dopuszczalne poziomy pól elektromagnetycznych.

Zakresy znajdują się w Dzienniku Ustaw z dnia 17 grudnia 2019 r. przedstawione są w tabeli nr 2 (Dz. U. z 2019r. poz. 2448).

Parametr fizyczny	Składowa elektryczna E (V/m)	Składowa magnetyczna H (A/m)	Gęstość mocy S (W/m ²)
Zakres Częstotliwości pola elektromagnetycznego			
od 400 MHz do 2000 MHz	$1,375 \times f^{0,5}$	$0,0037 \times f^{0,5}$	f / 200
od 2 GHz do 300 GHz	61	0,16	10

5. Charakterystyka źródeł PEM.

Zgodnie z informacją otrzymaną od Klienta pomiary zostały wykonane przy ustawieniach pochyleń anten zgodnych z pkt. 13, ppkt 2 Rozporządzenia Ministra Klimatu z dnia 17 lutego 2020 roku.

Tabela 1. Anteny sektorowe - dane otrzymane od klienta

Charakterystyka promieniowania		kierunkowa														
Rzeczywisty czas pracy [h/dobę]		24														
Rodzaj wytwarzanego pola		stacjonarne														
L	Wyszczególnienie	sektor 1							sektor 2							
p																
Nadajnik stacji bazowej:																
1	Typ / Producent	RBS / SRAN Ericsson														
2	Częstotliwość (pasmo) MHz	2100	1800	900	2100	1800	800	2600	2100	1800	900	2100	1800	800	2600	
3	Maksymalna moc nadawana na sektor [dBm]	50	50	47,78	50	50	49,03	52,04	50	50	47,78	50	50	49,03	52,04	
Obciążenie:																
1	Typ anteny	Huawei ADU4518R7			Huawei ADU4518R7			Huawei ADU4518R6			Huawei ADU4518R7			Huawei ADU4518R6		
2	Producent anteny	Huawei			Huawei			Huawei			Huawei			Huawei		
3	Ilość anten	1			1			1			1			1		
4	Azymut	117							265							
5	Zakres kątów pochyleń anten [°]	2-12	2-12	0-12	2-12	2-12	0-12	0-12	2-12	2-12	0-12	2-12	2-12	0-12	0-12	
6	Wysokość zainst. n.p.t. [m]	32,10			32,10			32,40			32,10			32,40		
7	EIRP [W]	12837			13502			10122			12837			13502		

Charakterystyka promieniowania		kierunkowa						
Rzeczywisty czas pracy [h/dobę]		24						
Rodzaj wytwarzanego pola		stacjonarne						
Lp	Wyszczególnienie	sektor 3						
I	Nadajnik stacji bazowej:							
1	Typ / Producent	RBS / SRAN Ericsson						
2	Częstotliwość (pasmo) MHz	2100	1800	900	2100	1800	800	2600
3	Maksymalna moc nadawana na sektor [dBm]	50	50	47,78	50	50	49,03	52,04
II	Obciążenie:							
1	Typ anteny	Huawei ADU4518R7		Huawei ADU4518R7		Huawei ADU4518R6		
2	Producent anteny	Huawei		Huawei		Huawei		
3	Ilość anten	1		1		1		
4	Azymut	355						
5	Zakres kątów pochylecia anten [°]	2-12	2-12	0-12	2-12	2-12	0-12	0-14
6	Wysokość zainst. n.p.t. [m]	35,40		35,40		35,70		
7	EIRP [W]	12837		13502		10122		

Tabela 2. Anteny radioliniowe- dane otrzymane od klienta
Brak anten

6. Wyniki pomiarów.

Wyniki pomiarów pól elektromagnetycznych dla celów ochrony środowiska przedstawia poniższa tabela. Piony pomiarowe zostały przedstawione w zał. 2.

Nr PP	Pole-E [V/m]	Pole-E, +U [V/m]	Pole-H [A/m]	Pole-H +U [A/m]	Wys. pomiaru [m]	Opis pionu	Uwagi	WM _E	WM _H
1	0,7*	1,10	0,002	0,003	0,3-2,0	N:51°14'46.4" E:22°32'17.6"	otoczenie stacji bazowej - 50m wzdłuż gł. osi promieniowania - GKP	0,039	0,040
2	0,7*	1,10	0,002	0,003	0,3-2,0	N:51°14'45.7" E:22°32'20.0"	otoczenie stacji bazowej - 100m wzdłuż gł. osi promieniowania - GKP	0,039	0,040
3	0,7*	1,10	0,002	0,003	0,3-2,0	N:51°14'44.8" E:22°32'22.4"	otoczenie stacji bazowej - 150m wzdłuż gł. osi promieniowania - GKP	0,039	0,040
4	0,7*	1,10	0,002	0,003	0,3-2,0	N:51°14'42.3" E:22°32'29.4"	otoczenie stacji bazowej - 300m wzdłuż gł. osi promieniowania - GKP	0,039	0,040
5	0,7*	1,10	0,002	0,003	0,3-2,0	N:51°14'42.1" E:22°32'30.2"	otoczenie stacji bazowej - 324m wzdłuż gł. osi promieniowania - GKP	0,039	0,040
6	0,7*	1,10	0,002	0,003	0,3-2,0	N:51°14'46.9" E:22°32'11.2"	otoczenie stacji bazowej - 50m wzdłuż gł. osi promieniowania - GKP	0,039	0,040
7	0,7*	1,10	0,002	0,003	0,3-2,0	N:51°14'46.8" E:22°32'08.9"	otoczenie stacji bazowej - 100m wzdłuż gł. osi promieniowania - GKP	0,039	0,040
8	0,7*	1,10	0,002	0,003	0,3-2,0	N:51°14'46.9" E:22°32'06.0"	otoczenie stacji bazowej - 150m wzdłuż gł. osi promieniowania - GKP	0,039	0,040
9	0,7*	1,10	0,002	0,003	0,3-2,0	N:51°14'46.8" E:22°32'03.3"	otoczenie stacji bazowej - 200m wzdłuż gł. osi promieniowania - GKP	0,039	0,040
10	0,7*	1,10	0,002	0,003	0,3-2,0	N:51°14'46.8" E:22°32'01.1"	otoczenie stacji bazowej - 250m wzdłuż gł. osi promieniowania - GKP	0,039	0,040
11	0,7*	1,10	0,002	0,003	0,3-2,0	N:51°14'46.7" E:22°31'58.3"	otoczenie stacji bazowej - 300m wzdłuż gł. osi promieniowania - GKP	0,039	0,040
12	0,7*	1,10	0,002	0,003	0,3-2,0	N:51°14'46.7" E:22°31'57.2"	otoczenie stacji bazowej - 324m wzdłuż gł. osi promieniowania - GKP	0,039	0,040
13	0,8	1,10	0,002	0,003	0,3-2,0	N:51°14'52.6" E:22°32'14.4"	otoczenie stacji bazowej - 155m wzdłuż gł. osi promieniowania - GKP	0,039	0,040

14	0,8	1,10	0,002	0,003	0,3-2,0	N:51°14'55.8" E:22°32'14.3"	otoczenie stacji bazowej - 250m wzdłuż gł. osi promieniowania - GKP	0,039	0,040
15	0,7*	1,10	0,002	0,003	0,3-2,0	N:51°14'57.6" E:22°32'14.6"	otoczenie stacji bazowej - 300m wzdłuż gł. osi promieniowania - GKP	0,039	0,040
16	0,7*	1,10	0,002	0,003	0,3-2,0	N:51°14'59.0" E:22°32'13.9"	otoczenie stacji bazowej - 357m wzdłuż gł. osi promieniowania - GKP	0,039	0,040
17	0,7*	1,10	0,002	0,003	0,3-2,0	N:51°14'47.8" E:22°32'16.6"	otoczenie stacji bazowej - GKP	0,039	0,040
18	0,7*	1,10	0,002	0,003	0,3-2,0	N:51°14'47.5" E:22°32'19.9"	otoczenie stacji bazowej - GKP	0,039	0,040
19	0,7*	1,10	0,002	0,003	0,3-2,0	N:51°14'44.9" E:22°32'15.8"	otoczenie stacji bazowej - GKP	0,039	0,040
20	0,7*	1,10	0,002	0,003	0,3-2,0	N:51°14'46.4" E:22°32'14.4"	otoczenie stacji bazowej - GKP	0,039	0,040
21	0,7*	1,10	0,002	0,003	0,3-2,0	N:51°14'45.4" E:22°32'12.8"	otoczenie stacji bazowej - GKP	0,039	0,040
22	0,7*	1,10	0,002	0,003	0,3-2,0	N:51°14'49.2" E:22°32'08.6"	otoczenie stacji bazowej - GKP	0,039	0,040
23	0,7*	1,10	0,002	0,003	0,3-2,0	N:51°14'48.7" E:22°32'12.9"	otoczenie stacji bazowej - GKP	0,039	0,040
A	0,8	1,10	0,002	0,003	0,3-2,0	N:51°14'46.9" E:22°32'14.2"	Langiewicza 5, pomiar przed budynkiem -DPP	0,039	0,040
B	0,8	1,10	0,002	0,003	0,3-2,0	N:51°14'47.1" E:22°32'17.2"	Langiewicza 7, pomiar przed budynkiem -DPP	0,039	0,040
C	0,8	1,10	0,002	0,003	0,3-2,0	N:51°14'47.9" E:22°32'13.9"	Beliniaków 10, pomiar przed budynkiem -DPP	0,039	0,040
D	0,9	1,24	0,002	0,003	0,3-2,0	N:51°14'49.2" E:22°32'13.2"	Beliniaków 8, pomiar przed budynkiem -DPP	0,044	0,045
E	0,8	1,10	0,002	0,003	0,3-2,0	N:51°14'48.9" E:22°32'15.9"	Beliniaków 8a, pomiar przed budynkiem -DPP	0,039	0,040
F	0,8	1,10	0,002	0,003	0,3-2,0	N:51°14'49.9" E:22°32'13.3"	Beliniaków 6, pomiar przed budynkiem -DPP	0,039	0,040
G	0,8	1,10	0,002	0,003	0,3-2,0	N:51°14'50.9" E:22°32'13.9"	Beliniaków 4, pomiar przed budynkiem -DPP	0,039	0,040
H	0,8	1,10	0,002	0,003	0,3-2,0	N:51°14'50.0" E:22°32'16.7"	Beliniaków 4a, pomiar przed budynkiem -DPP	0,039	0,040
I	0,8	1,10	0,002	0,003	0,3-2,0	N:51°14'51.8" E:22°32'14.3"	Weteranów 24/24b/24a, pomiar przed budynkiem -DPP	0,039	0,040
J	0,7*	1,10	0,002	0,003	0,3-2,0	N:51°14'53.0" E:22°32'13.8"	Weteranów 11b/11c/11a/11d/11e/11f, pomiar przed budynkiem -DPP	0,039	0,040
K	0,7*	1,10	0,002	0,003	0,3-2,0	N:51°14'55.1" E:22°32'14.3"	Gen. Sowińskiego 1a, pomiar przed budynkiem -DPP	0,039	0,040
L	0,7*	1,10	0,002	0,003	0,3-2,0	N:51°14'56.6" E:22°32'13.6"	Al. Raclawicka 26, pomiar przed budynkiem -DPP	0,039	0,040
M	0,7*	1,10	0,002	0,003	0,3-2,0	N:51°14'48.3" E:22°32'16.1"	Langiewicza 3a, pomiar przed budynkiem -DPP	0,039	0,040
N	0,7*	1,10	0,002	0,003	0,3-2,0	N:51°14'48.3" E:22°32'17.6"	Langiewicza 3b, pomiar przed budynkiem -DPP	0,039	0,040
O	0,7*	1,10	0,002	0,003	0,3-2,0	N:51°14'48.1" E:22°32'20.5"	Langiewicza 15, pomiar przed budynkiem -DPP	0,039	0,040
P	0,7*	1,10	0,002	0,003	0,3-2,0	N:51°14'43.9" E:22°32'23.1"	Curie-Skłodowskiej 5, pomiar przed budynkiem -DPP	0,039	0,040
R	0,7*	1,10	0,002	0,003	0,3-2,0	N:51°14'47.2" E:22°32'10.9"	Langiewicza 6a, pomiar przed budynkiem -DPP	0,039	0,040
S	0,7*	1,10	0,002	0,003	0,3-2,0	N:51°14'46.2" E:22°32'11.6"	Radziszewskiego 17, pomiar przed budynkiem -DPP	0,039	0,040
T	0,7*	1,10	0,002	0,003	0,3-2,0	N:51°14'45.7" E:22°32'09.8"	Langiewicza 6, pomiar przed budynkiem -DPP	0,039	0,040
U	0,7*	1,10	0,002	0,003	0,3-2,0	N:51°14'46.6" E:22°32'07.3"	Langiewicza 10, pomiar przed budynkiem -DPP	0,039	0,040
W	0,7*	1,10	0,002	0,003	0,3-2,0	N:51°14'46.6" E:22°32'04.5"	Langiewicza 16, pomiar przed budynkiem -DPP	0,039	0,040
V	0,7*	1,10	0,002	0,003	0,3-2,0	N:51°14'46.0" E:22°32'05.1"	Langiewicza 12, pomiar przed budynkiem -DPP	0,039	0,040

X	0,7*	1,10	0,002	0,003	0,3-2,0	N:51°14'46.4" E:22°32'01.9"	Langiewicza 20, pomiar przed budynkiem -DPP	0,039	0,040
Y	0,7*	1,10	0,002	0,003	0,3-2,0	N:51°14'46.9" E:22°32'01.9"	Langiewicza 18, pomiar przed budynkiem -DPP	0,039	0,040
Z	0,7*	1,10	0,002	0,003	0,3-2,0	N:51°14'47.3" E:22°32'00.0"	Langiewicza 24, pomiar przed budynkiem -DPP	0,039	0,040

Wynik pomiaru pole - E [V/m] - maksymalna wartość chwilowa zmierzona w danym pionie pomiarowym (uśredniona na podstawie punktu 11 Rozporządzenia Ministra Zdrowia).

Przyjęto najniższą dopuszczalną wartość składowej elektrycznej pola dla objętego pomiarami zakresu częstotliwości $\min(ME_{gr}) = 28 \text{ V/m}$ oraz składowej magnetycznej $\min(MH_{gr}) = 0,073 \text{ A/m}$.

* - wartość zmierzona poniżej zakresu akredytacji. Do obliczeń przyjęto wartość zgodną z dolną granicą akredytowanego zakresu pomiarowego metody.

GKP - główne kierunki pomiarowe

PKP - pomocnicze kierunki pomiarowe

DPP - dodatkowe punkty pomiarowe

PP - pion pomiarowy

U - niepewność pomiarowa rozszerzona, przy poziomie ufności 95%, z uwzględnieniem współczynnika rozszerzenia $k=2$

WM_E - wartość wskaźnikowa poziomu emisji pól elektromagnetycznych dla miejsc dostępnych dla ludności dla składowej elektrycznej pola

WM_H - wartość wskaźnikowa poziomu emisji pól elektromagnetycznych dla miejsc dostępnych dla ludności dla składowej magnetycznej pola

7. Stwierdzenie zgodności

Na podstawie wytycznych podanych w Rozporządzeniu Ministra Zdrowia z dnia 17 grudnia 2019 r. w sprawie dopuszczalnych poziomów pól elektromagnetycznych w środowisku (Dz.U. 2019 poz. 2448) oraz sposobów sprawdzania dotrzymania tych poziomów zgodnie z Rozporządzeniem Ministra Klimatu z dnia 17 lutego 2020 r. w sprawie sposobów sprawdzania dotrzymania dopuszczalnych poziomów pól elektromagnetycznych w środowisku (Dz.U. 2020 poz. 258) oraz Rozporządzeniem Ministra Klimatu i Środowiska z dnia 6 maja 2022 r. zmieniającego rozporządzenie w sprawie sposobów sprawdzania dotrzymania dopuszczalnych poziomów pól elektromagnetycznych w środowisku (Dz.U. 2022 poz. 1121), dotyczących źródła wymagań, które muszą być spełnione, w oparciu o zasadę podejmowania decyzji zgodną z pkt 26 Rozporządzenia Ministra Klimatu z dnia 17 lutego 2020 r. (Dz.U. 2020 poz. 258), na podstawie wyników pomiarów pól elektromagnetycznych wykonanych w dniu 18.08.2022 stwierdzono, iż w miejscach dostępnych dla ludności, dopuszczalne poziomy pole elektromagnetycznych w środowisku, określone w przepisach wydanych na podstawie art. 122 ust. 1 ustawy z dnia 27 kwietnia 2001 r. – Prawo ochrony środowiska, uznaje się za dotrzymane w obszarze pomiarowym, w którym w wyniku zastosowania sposobu sprawdzenia dotrzymania dopuszczalnych poziomów pól elektromagnetycznych w środowisku, udokumentowano, że żadna z wartości wskaźnikowych nie przekracza wartości 1.

8. Oświadczenie.

Wyniki badania odnoszą się wyłącznie do badanego obiektu.

Bez pisemnej zgody sprawozdanie nie może być powielane inaczej, jak tylko w całości.

Uwagi i zastrzeżenia przyjmowane są w formie pisemnej w ciągu 14 dni od daty otrzymania sprawozdania.

9. Spis załączników.

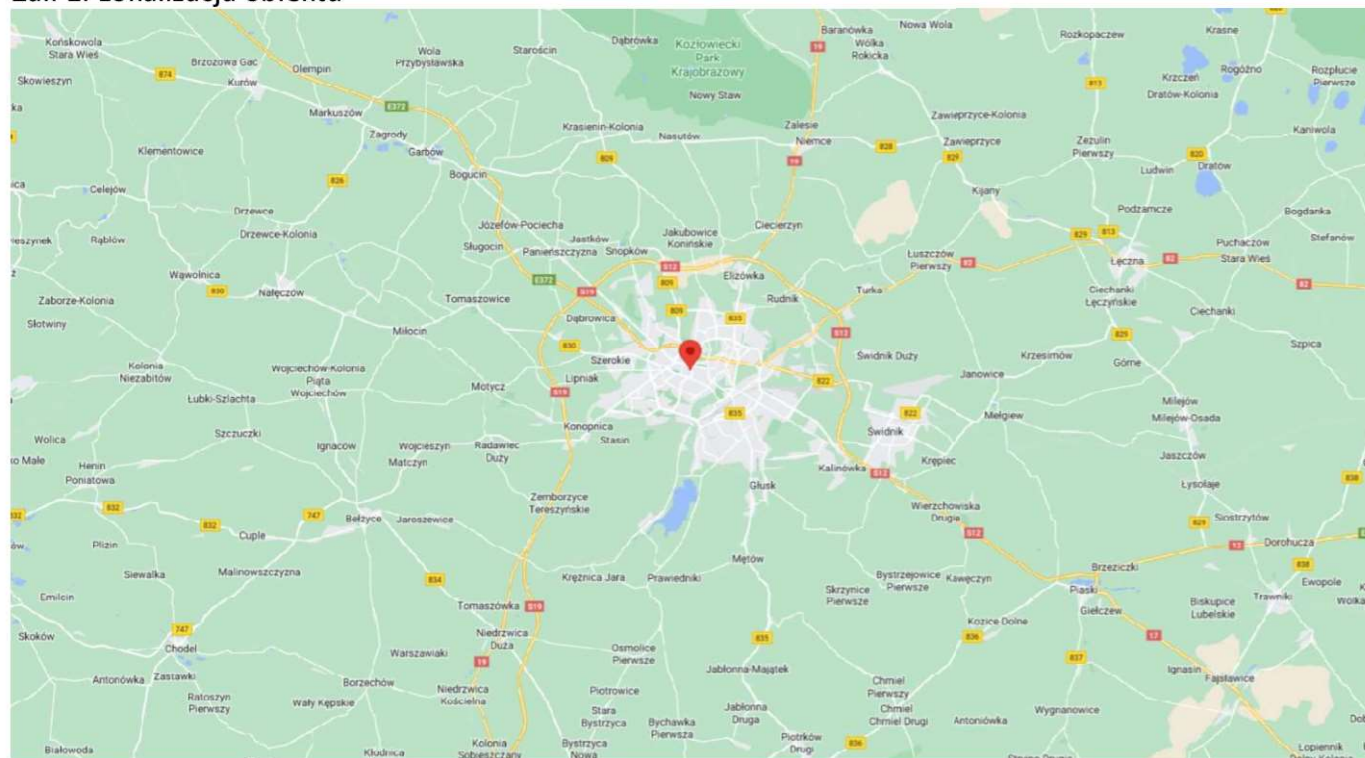
Załącznik 1. Lokalizacja obiektu.

Załącznik 2. Widok pionów pomiarowych

Załącznik 3. Załączniki graficzne

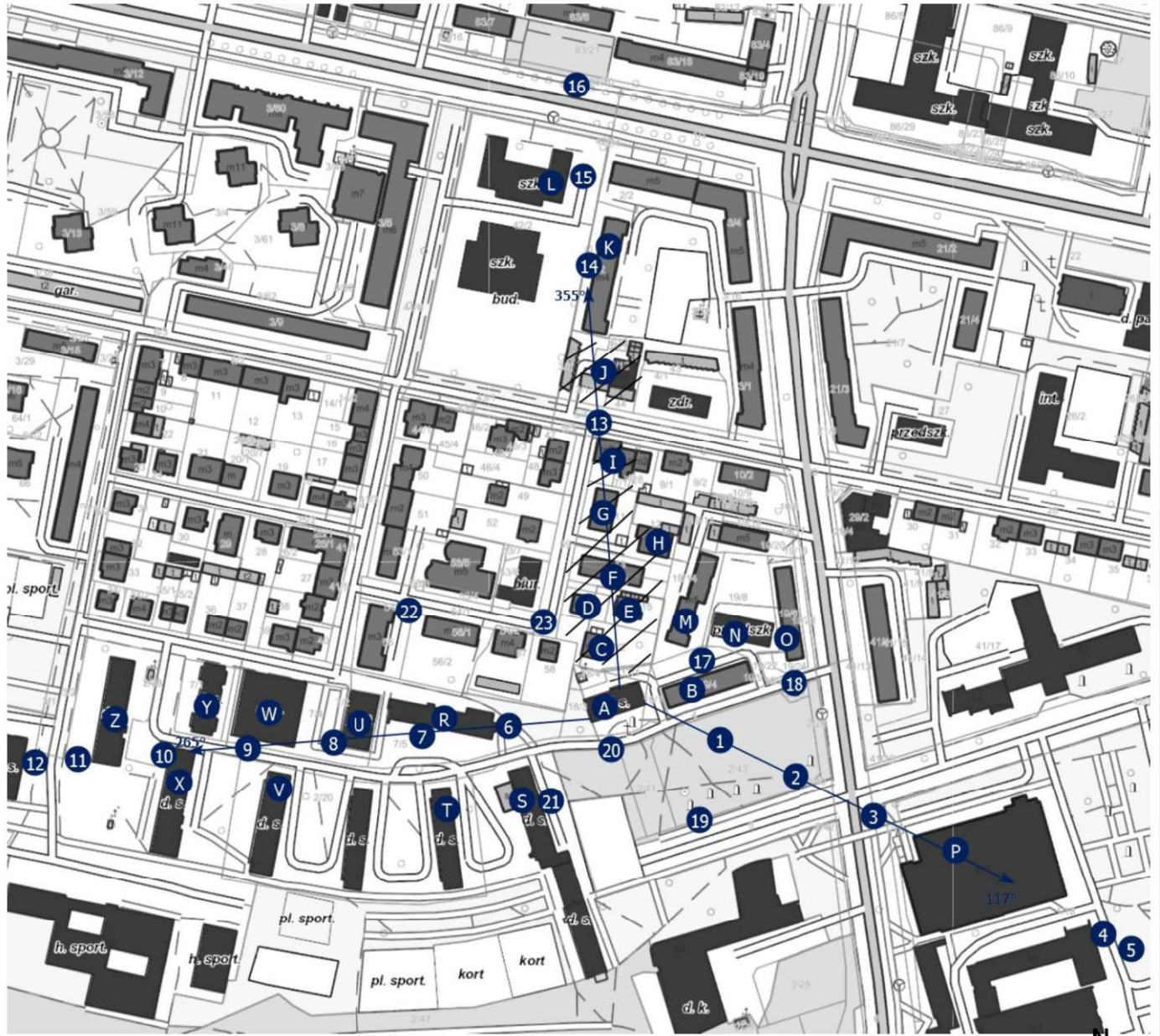
Koniec sprawozdania

Zał. 1. Lokalizacja obiektu




Współrzędne geograficzne	
długość:	22°32'14.77"E
szerokość:	51°14'47.12"N


Załącznik 2. Widok pionów pomiarowych




LEGENDA:

 inna instalacja radiokomunikacyjna

 brak dostępu

 pion pomiaru

 antena sektorowa

 antena radioliowa

Skala:1:4200



Załącznik 3. Załączniki graficzne.

